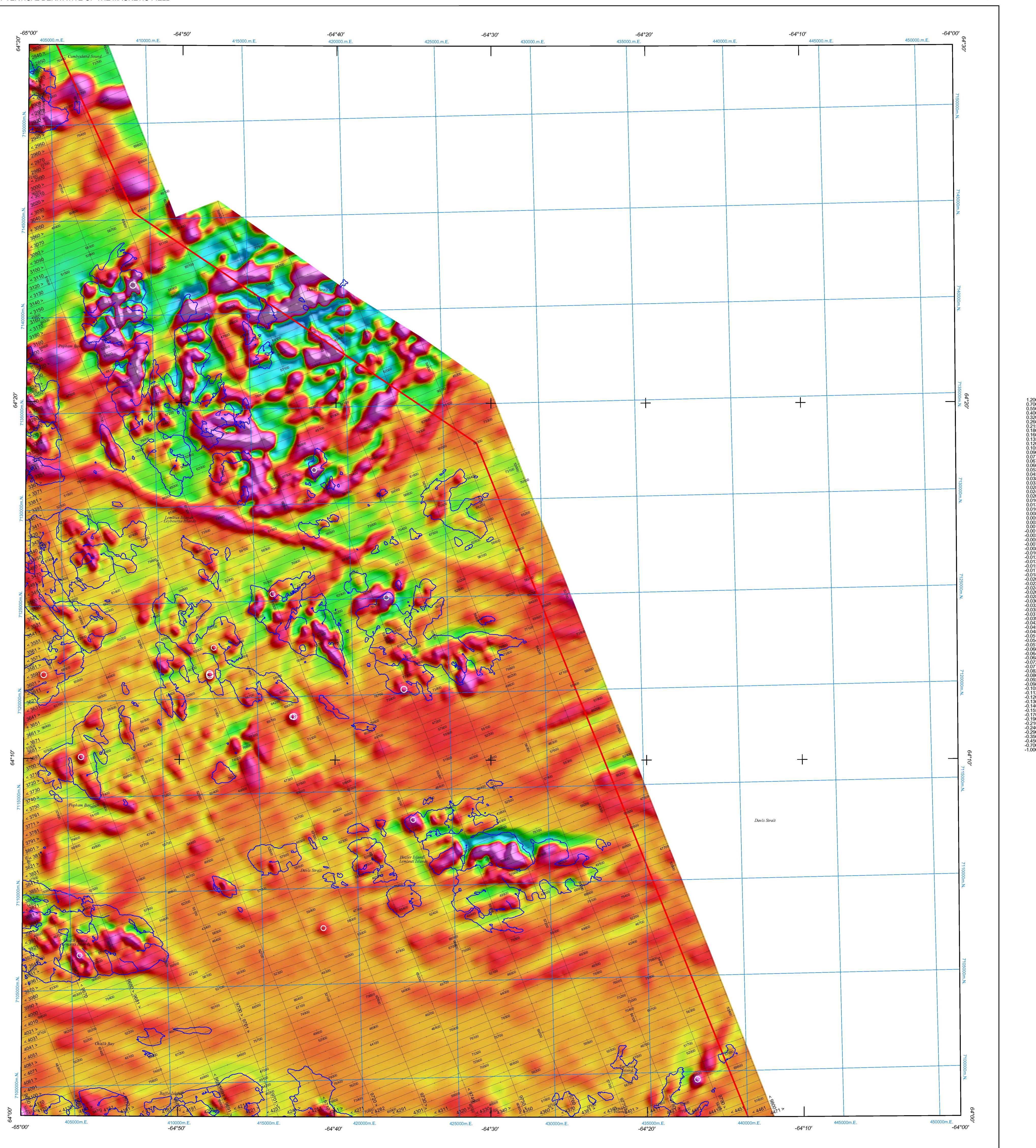




GEOPHYSICAL SERIES
FIRST VERTICAL DERIVATIVE OF THE MAGNETIC FIELD

SÉRIE DES CARTES GÉOPHYSIQUES
DÉRIVÉE PREMIÈRE VERTICALE DU CHAMP MAGNÉTIQUE



This aeromagnetic survey and the production of this map were funded by the Geoscience for Energy and Minerals (GEM) Program of the Earth Sciences Sector, Natural Resources Canada.

Ce levé sismétrique et la production de cette carte ont été financés par le programme de Géosciences de l'énergie et des minéraux (GEM) du Secteur des sciences de la Terre, Ressources naturelles Canada.

GSC OPEN FILE 6425 / DOSSIER PUBLIC 6425 DE LA CGC
GEOPHYSICAL SERIES / SÉRIE DES CARTES GÉOPHYSIQUES
NTS 26 A/SE / SNRC 26 A/SE

AEROMAGNETIC SURVEY HALL PENINSULA
LEVÉ AÉROMAGNÉTIQUE DE LA PÉNINSULE HALL
NUNAVUT

FIRST VERTICAL DERIVATIVE OF THE MAGNETIC FIELD
DÉRIVÉE PREMIÈRE VERTICALE DU CHAMP MAGNÉTIQUE

Authors: R. Dumont and F. Dostaler

Data acquisition by Orca Geoscience International
and Geo Data Solutions (GDS) Inc.
Compilation and map production by
Geo Data Solutions GDS Inc., Laval, Quebec.
Contract and project management by the
Geological Survey of Canada, Ottawa, Ontario.

Scale 1:100 000 - Échelle 1/100 000

kilometres 0 2 4 6 8 10 kilomètres

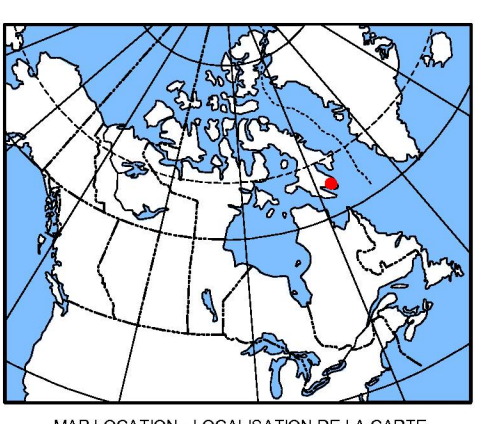
NAD83 / UTM zone 20N

Universal Transverse Mercator Projection
North American Datum 1983
© Her Majesty the Queen in Right of Canada 2010

Digital Topographic Data provided by Geomatics Canada, Natural Resources Canada
Données topographiques numériques de Geomatics Canada, Ressources naturelles Canada

Auteurs : R. Dumont et F. Dostaler

Acquisition des données par Orca Geoscience International
et Geo Data Solutions (GDS) Inc.
Compilation des données et production des cartes
par Geo Data Solutions GDS Inc., Laval, Québec.
Gestion et supervision du projet
par la Commission géologique du Canada, Ottawa, Ontario



MAP SHEET SUMMARY / SOMMAIRE DES FEUILLETS

GSC Sheet
CGC Feuillet

MAP / CARTE

- 1 - Residual Total Magnetic Field
Composante résiduelle du champ magnétique total
- 2 - First Vertical Derivative of the Magnetic Field
Dérivée première verticale du champ magnétique

OPEN FILE DOSSIER PUBLIC 6425	Open files are products that have not gone through the GSC formal publication process.
Geological Survey of Canada Commission géologique du Canada 2010	The dossier public sont des documents qui n'ont pas été soumis au processus officiel de publication de la CGC

Recommandé citation:
Dumont, R. and Dostaler, F., 2010.
Geophysical Series, NTS 26 A/SE,
Aeromagnetic Survey Hall Peninsula, Nunavut;
Geological Survey of Canada, Open File 6425,
scale 1:100 000.

Notation bibliographique conseillée :
Dumont, R. and Dostaler, F., 2010.
Série des cartes géophysiques, SNRC 26 A/SE,
Levé aéromagnétique de la péninsule Hall, Nunavut;
Commission géologique du Canada, Dossier public 6425,
échelle 1/100 000.

First Vertical Derivative of the Magnetic Field

This map of the first vertical derivative of the magnetic field was derived from data acquired during an aeromagnetic survey campaign out of Geo Data Solutions GDS Inc. and Orca Geoscience International, during the period July 20, 2009 to October 14, 2010. The survey was conducted at an altitude of 100 m above sea level, using three Piper Navajo C-GOGI, C-GSV and C-GPV aircrafts. The nominal traverse and control line spacing were, respectively, 400 m and 2 400 m, and the aircraft flew at a nominal terrain clearance of 120 m. Traverse lines were projected UTM with a vertical exaggeration of 2.0. A post-flight digital orthophoto was taken every 200 m along the survey flight lines. The raw data were processed using the Global Positioning System and inspection of ground images recorded by a camera mounted under the aircraft. The survey was flown on a pre-determined flight surface to minimize differences in magnetic values at the intersections of control and traverse lines. These differences were computer-analyzed to obtain a mutually leveled set of flight lines. The zero-value control points were subtracted at high magnetic values (Hood, 1965).

Digital versions of this map can be downloaded, at no charge, from Natural Resources Canada's Geoscience Data Repository (MIRAGE) at <http://gdr.nrcan.gc.ca/mirage>. Corresponding digital profile and gridded data, and similar data for adjacent aeromagnetic surveys can be downloaded, at no charge, from Natural Resources Canada's Geoscience Data Repository for Aeromagnetic Data at <http://gdr.nrcan.gc.ca/aeromag>. The same products are also available, for a fee, from the Geological Data Centre, Geological Survey of Canada, 615 Booth Street, Ottawa, Ontario K1A 0E9. Telephone: (613) 952-5426; email: info@cgc.nrcan.gc.ca.

DÉTAILS DE LA DÉRIVÉE PREMIÈRE VERTICALE DU CHAMP MAGNÉTIQUE

Cette carte de la dérivée première verticale du champ magnétique a été dressée à partir de données acquises lors d'un levé aéromagnétique exécuté par Geo Data Solutions GDS Inc. et Orca Geoscience International pendant la période du 20 juillet 2009 au 14 octobre 2010. Les données ont été recueillies au moyen de magnétomètres à vane de césium à faible sensibilité (0.005 nT) installés dans chaque avion pour la quatrième génération de Piper Navajo C-GOGI, C-GSV et C-GPV. L'espace entre les lignes de vol est de 400 m et l'espace entre les lignes de contrôle est de 2 400 m. Les avions volaient à une hauteur nominale de 120 m au dessus du sol. Les lignes de vol étaient orientées N. 70°E, perpendiculairement aux lignes de contrôle. La projection de vol a été restituée par l'application après le vol de corrections différentes pour les différences entre les lignes de vol et les lignes de contrôle. Ces différences ont été analysées par ordinateur pour obtenir un ensemble de lignes de vol mutualisé et nivelé. Les valeurs nivellées qui en résultent ont ensuite été interpolées sur un quadrillage à maille de 80 m. Le champ géomagnétique de référence (IGRF) a été calculé pour l'année 2009.66 (28 août 2009) à partir de l'extrapolation du modèle de 2005 défini à la hauteur moyenne de vol de 858 m au-dessus du niveau moyen de la mer et soustrait des valeurs corrigées.

La dérivée première verticale du champ magnétique représente le taux auquel varie le champ magnétique suivant la verticale. Le calcul de la dérivée première verticale suppose les composantes de grande longueur d'onde du champ magnétique et corrige les anomalies de la dérivée première des anomalies approches ou superposées. L'une des propriétés des cartes de la dérivée première verticale est la concordance de la courbe de valeur zéro et des contacts verticaux aux hautes latitudes magnétiques (Hood, 1965).

On peut télécharger gratuitement des versions numériques de cette carte depuis la section MIRAGE de l'Entreport de données géoscientifiques de Ressources naturelles Canada à l'adresse Web <http://gdr.mirage.nrcan.gc.ca>. Les données numériques sont disponibles en formats ASCII et en tant que données associées aux ensembles de données aéromagnétiques adjacents sont disponibles à l'adresse Web <http://gdr.mirage.nrcan.gc.ca/aeromag>. On peut se procurer les mêmes produits, moyennant des frais, au Centre des données géophysiques de la Commission géologique du Canada, 615, boulevard Booth, Ottawa (Ontario) K1A 0E9. Téléphone : (613) 952-5426, courriel : info@cgc.mirage.nrcan.gc.ca.

Références / Réferences

Hood, P.J., 1965. Gradient measurements in aeromagnetic surveys: Geophysics, v. 30, p. 891-902.

Keating, P., 1995. A simple technique to identify magnetic anomalies due to kimberlite pipes; Exploration and Mining Geology, vol. 4, No. 2, p. 121-125.

Keating Correlation Coefficients

Possibles cibles ont été identifiées à partir des résiduels magnétiques résiduels, basé sur l'identification de anomalies circulaires approximatives. Cette procédure a été automatisée en utilisant une technique de reconnaissance de motifs connue sous le nom de Keating (1995), qui consiste à compiler, dans un fenêtre mobile, une régression d'ordre supérieur entre le modèle d'andomnie d'un cylindre vertical et la mosaïque des données magnétiques. Seules les anomalies magnétiques présentant un coefficient de corrélation supérieure à 80 % sont retenues.

Les résultats sont dépeints par des cercles dont le rayon est proportionnel au coefficient de corrélation. Les cibles les plus favorables sont celles qui présentent un ensemble de solutions de grande amplitude. Les coefficients de corrélation de valeur négative correspondent à des sources inversément magnétisées. Il est important de savoir que d'autres sources magnétiques peuvent montrer une bonne corrélation avec le modèle de cylindre vertical, alors que certaines cheminées kimberlite de géométrie irrégulière ne le seront pas.

Cylindre d'andomnie	200 m	Diamètre du cylindre
Rayon de l'andomnie	(infinité / infinité)	Longueur du cylindre
Profondeur du cylindre	(below the tail sensor / sous la queue de l'avion)	Profondeur du cylindre
Inclinaison magnétique	80.5° N	Inclinaison magnétique
Déclinaison magnétique	31.0° W	Déclinaison magnétique
Window cell size	9 x 9 (440 m x 640 m)	Cellules de maille

Coefficients de corrélation Keating

Les cibles potentielles de cheminées verticales (kimberlite) ont été identifiées à partir du champ magnétique résiduel présentant un ensemble d'anomalies plus ou moins circulaires. Une procédure d'identification a été introduite pour identifier ces anomalies, qui consiste à compiler, dans une fenêtre mobile, une régression d'ordre supérieur entre le modèle d'andomnie d'un cylindre vertical et la mosaïque des données magnétiques. Seules les anomalies magnétiques présentant un coefficient de corrélation supérieure à 80 % sont retenues.

Les résultats sont représentés par des cercles dont le rayon est proportionnel au coefficient de corrélation. Les cibles les plus favorables sont celles qui présentent un ensemble de solutions de grande amplitude. Les coefficients de corrélation de valeur négative correspondent à des sources inversément magnétisées. Il est important de savoir que d'autres sources magnétiques peuvent montrer une bonne corrélation avec le modèle de cylindre vertical, alors que certaines cheminées kimberlite de géométrie irrégulière ne le seront pas.

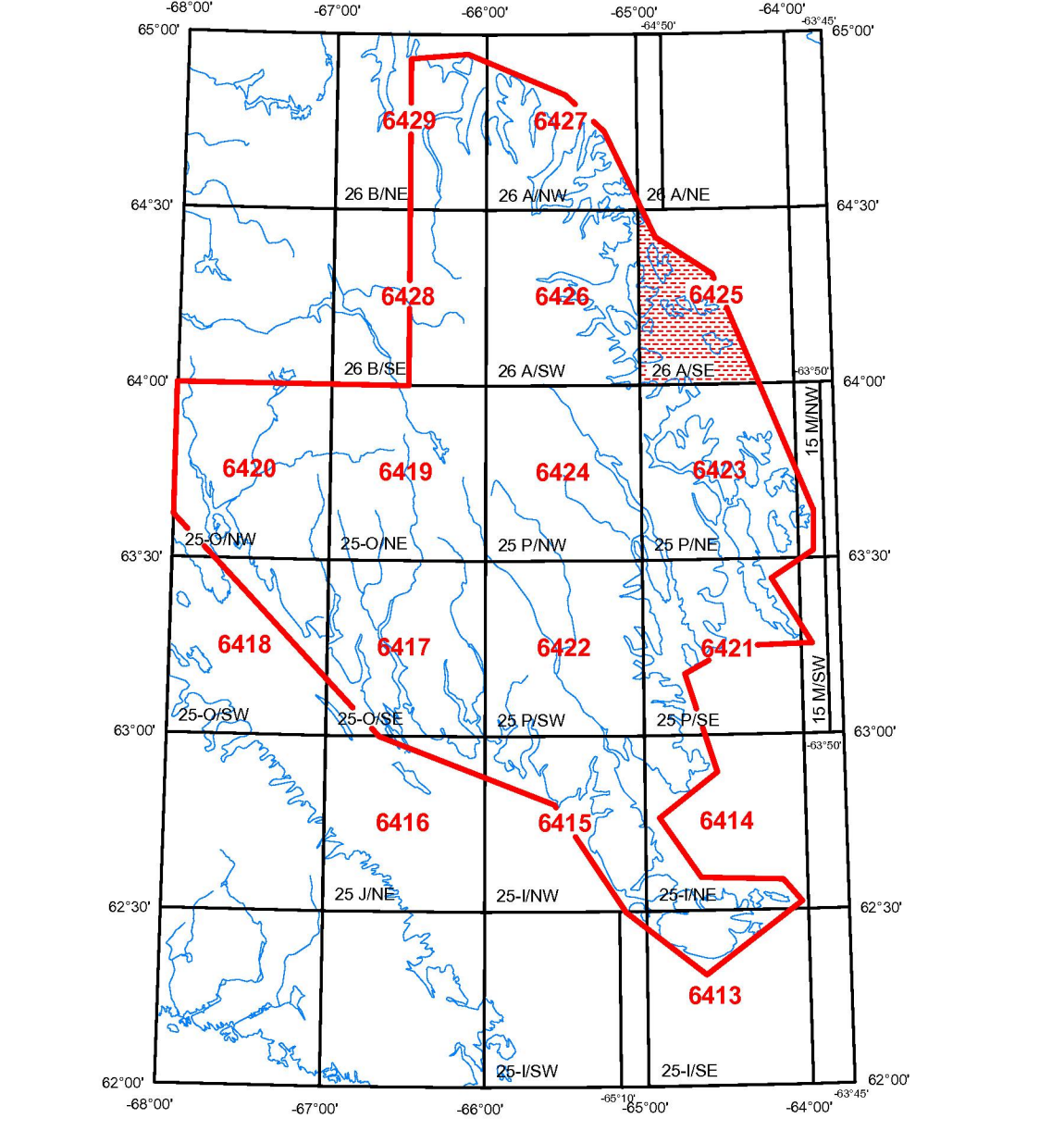
KEATING COEFFICIENTS
COEFFICIENTS KEATING

Les cibles potentielles de cheminées verticales (kimberlite) ont été identifiées à partir du champ magnétique résiduel présentant un ensemble d'anomalies plus ou moins circulaires. Une procédure d'identification a été introduite pour identifier ces anomalies, qui consiste à compiler, dans une fenêtre mobile, une régression d'ordre supérieur entre le modèle d'andomnie d'un cylindre vertical et la mosaïque des données magnétiques. Seules les anomalies magnétiques présentant un coefficient de corrélation supérieure à 80 % sont retenues.

Les résultats sont représentés par des cercles dont le rayon est proportionnel au coefficient de corrélation. Les cibles les plus favorables sont celles qui présentent un ensemble de solutions de grande amplitude. Les coefficients de corrélation de valeur négative correspondent à des sources inversément magnétisées. Il est important de savoir que d'autres sources magnétiques peuvent montrer une bonne corrélation avec le modèle de cylindre vertical, alors que certaines cheminées kimberlite de géométrie irrégulière ne le seront pas.

SYMBOLS PLANIMÉTRIQUES

Project Limit Limite du projet
Drainage Drainage
Road Route
Flight line Ligne de vol



NATIONAL TOPOGRAPHIC SYSTEM REFERENCE AND GEOGRAPHICAL MAP INDEX
SYSTÈME NATIONAL DE RÉFÉRENCE CARTOGRAPHIQUE ET INDEX DES CARTES GÉOPHYSIQUES

AEROMAGNETIC SURVEY HALL PENINSULA
LEVÉ AÉROMAGNÉTIQUE DE LA PÉNINSULE HALL